

Предисловие редактора

В тематическом выпуске журнала представлены некоторые результаты по научной программе Школы «Оптическая спектроскопия молекул и радиационные процессы в атмосфере», полученные при исполнении лота РИ-112/001/020.

Содержание большей части статей связано со спектроскопией атмосферных газов. И среди них стоит отметить экспериментальные работы (первые три статьи). Теоретические исследования имеют характер, вполне традиционный для этой области. Некоторые прикладные аспекты, возникающие в связи с задачами атмосферной спектроскопии, есть в последних трех работах.

Чл.-кор. РАН С.Д. Творогов

**А.М. Киселев¹, Ю.Н. Пономарев², А.Н. Степанов¹,
А.Б. Тихомиров², Б.А. Тихомиров²**

Поглощение фемтосекундного излучения Ti:Sa-лазера атмосферным воздухом и водяным паром

¹ Институт прикладной физики РАН, г. Н. Новгород

² Институт оптики атмосферы СО РАН, г. Томск

Поступила в редакцию 14.04.2006 г.

Установлено, что в отсутствие эффекта самофокусировки коэффициент индуцированного поглощения фемтосекундных импульсов излучения Ti:Sa-лазера в атмосферном воздухе и водяном паре увеличивается прямо пропорционально энергии лазерных импульсов E . Для гауссовых пучков радиусом 2,5 мм коэффициент индуцированного поглощения в воздухе при атмосферном давлении изменяется со скоростью $dk/dE = (2,48 \pm 0,45) \cdot 10^{-7} \text{ см}^{-1} \cdot \text{мДж}^{-1}$ (длительность импульса 190 фс), а в водяном паре при давлении 13 мбар со скоростью $dk/dE = (1,54 \pm 0,20) \cdot 10^{-8} \text{ см}^{-1} \cdot \text{мДж}^{-1}$ (длительность импульса 120 фс).

Измеренный коэффициент поглощения фемтосекундных импульсов в воздухе при энергии $E \approx 0$ (коэффициент линейного поглощения) хорошо согласуется со значением коэффициента поглощения излучения водяным паром в атмосферном воздухе, полученным из расчета с использованием базы данных HITRAN.

Введение

Распространение высокointенсивных фемтосекундных (ФС) импульсов в газах и атмосферном воздухе отличается от хорошо изученных случаев распространения лазерных импульсов наносекундной (НС) длительности. Одним из наиболее ярких эффектов, обнаруженных и активно изучаемых в последние годы, является филаментация лазерного пучка при распространении ФС лазерных импульсов в атмосферном воздухе [1, 2].

В [3] сообщается об обнаружении другого эффекта: зависящего от энергии лазерных импульсов поглощения ФС-излучения Ti:Sa-лазера атмосферным воздухом в отсутствие филамента. В эксперименте [3] наблюдалось индуцированное поглощение импульсов излучения с длительностью 80 фс в атмосферном воздухе, нелинейно возрастающее с увеличением энергии и значительно превышающее поглощение импульсов излучения НС-длительности (9 нс) со сравнимыми спектральными характеристиками.

Количественные данные о коэффициентах индуцированного поглощения ФС-излучения атмосферным воздухом и его молекулярными составляющими представляют большой интерес для оценок ослабления ФС-излучения в атмосфере. Такие данные в литературе отсутствуют.

Целью настоящей работы являются измерения коэффициентов поглощения ФС-излучения с длиной волны $\lambda_0 = 800$ нм атмосферным воздухом и водяным паром при энергиях лазерного импульса, меньших энергии филаментации.

ОА-спектрометр на основе Ti:Sa-лазера

Измерения проводились с использованием оптико-акустического (ОА) метода лазерной спектроскопии. Схема ОА-спектрометра, созданного на основе лазерного комплекса [4], представлена на рис. 1.

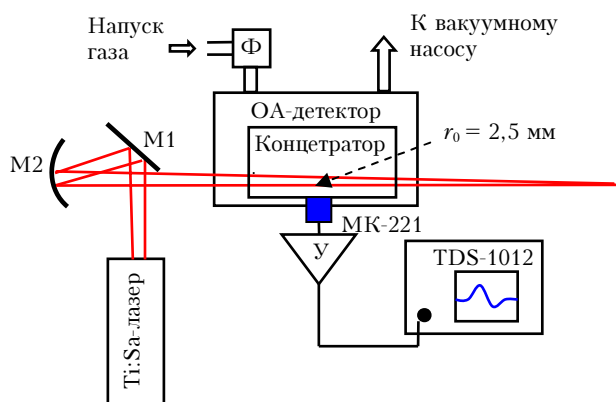


Рис. 1. Схема ОА-спектрометра: М1 – плоское зеркало, М2 – сферическое зеркало с $F = 86,5$ см; Ф – аэрозольный фильтр; У – широкополосный усилитель с коэффициентом 1000; МК-221 – полудиймовый микрофон

Ti:Sa-лазер позволяет получать импульсы излучения ФС- или НС-длительности. При отсутствии инжекции ФС-импульсов от задающего генератора в схему регенеративного усилителя лазерная система генерирует импульсы длительностью $\tau = 9$ нс.

Инжекция отдельных ФС-импульсов от задающего генератора синхронно с накачкой регенеративного и выходных усилителей позволяет получать мощные ФС-импульсы света с частотой повторения 10 Гц (подробнее см. [4]). Для исключения эффекта самофокусировки в настоящих экспериментах с воздухом энергия ФС-импульсов не превышала 5 мДж. Длительность ФС-импульсов на полувысоте (FWHM) τ составляла 190 фс. Радиусы гауссовых пучков излучения на выходе из лазерной системы в обоих случаях одинаковы и равны примерно 5 мм. В настоящей работе спектр излучения НС-импульсов, регистрируемый с помощью монохроматора и ПЗС-линейки с разрешением 0,04 нм, хорошо аппроксимировался функцией Гаусса со значением длины волны в максимуме $\lambda_0 = 791$ нм и шириной на полувысоте $\Delta\lambda = 23,4$ нм. Для ФС-импульсов λ_0 равна 800 нм, $\Delta\lambda = 17,7$ нм. Энергия импульсов излучения изменялась поляризационным аттенюатором и измерялась с помощью калиброванного фотодиода.

Излучение лазера заводилось в ячейку ОА-детектора с помощью двух диэлектрических зеркал. Первое зеркало было плоским, второе имело фокусное расстояние F , равное 86,5 см. Цилиндрическая ОА-ячейка длиной 25 см и диаметром 20 см, с окнами из MgF_2 толщиной 2 мм, размещалась таким образом, что фокус сферического зеркала находился за ячейкой, а радиус лазерного пучка r_0 в плоскости измерительного микрофона МК-221 составлял 2,5 мм. Форма электрических сигналов, генерируемых в результате поглощения импульсов излучения воздухом и регистрируемых на выходе широкополосного усилителя с помощью осциллографа TDS-1012, представлена на рис. 2.

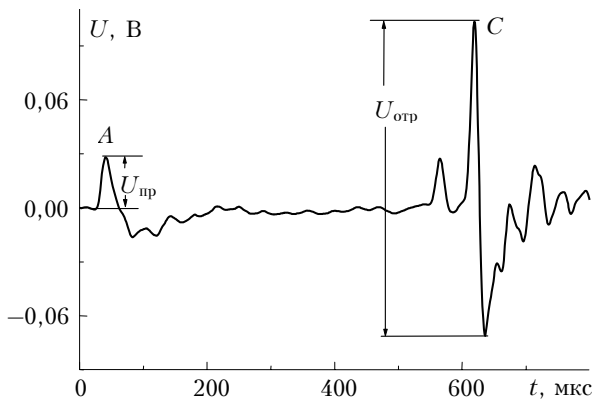


Рис. 2. Осциллограмма сигнала ОА-детектора

В ОА-ячейке установлен «концентратор» [5], состоящий из двух параболических рефлекторов и служащий для увеличения чувствительности детектора. Первый импульс A с амплитудой $U_{\text{пр}}$ (см. рис. 2) соответствует воздействию на микрофон импульса давления, приходящему непосредственно из освещенной излучением области. Импульс C с амплитудой $U_{\text{отр}}$ соответствует импульсу давления, сфокусированному на микрофон с помощью «концентратора» (подробнее см. [5]). В зависимо-

сти от величины поглощения измеряются либо амплитуда прямого сигнала $U_{\text{пр}}$, либо амплитуда сфокусированного сигнала $U_{\text{отр}}$.

На рис. 3 представлена корреляция между $U_{\text{отр}}$ и $U_{\text{пр}}$. Из рис. 3 видно, что переход в измерениях от $U_{\text{пр}}$ к $U_{\text{отр}}$ позволяет увеличить чувствительность ОА-спектрометра примерно в 6 раз.

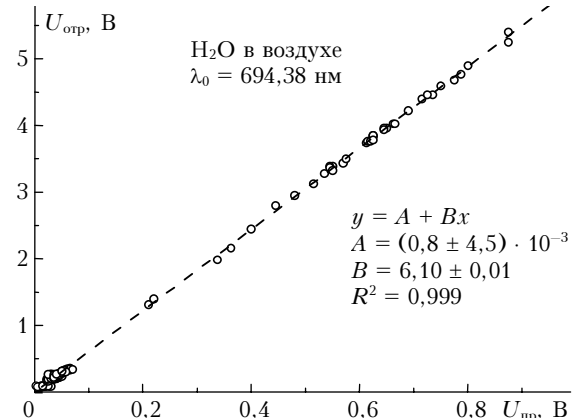


Рис. 3. Корреляция между амплитудами $U_{\text{пр}}$ и $U_{\text{отр}}$

В настоящей работе при калибровке ОА-детектора и измерениях коэффициентов неизвестного поглощения излучения Ti:Sa-лазера водяным паром и воздухом регистрировалась амплитуда $U_{\text{отр}}$.

Формулы для амплитуды ОА-сигнала при поглощении НС- и ФС-импульсов излучения. Калибровка ОА-детектора

В случае линейного поглощения амплитуда сигнала ОА-детектора $U_{\text{отр}}$ связана с коэффициентом поглощения излучения в газе k , энергией лазерного импульса E и амплитудой импульса сжатия сигнала давления p_{\max} соотношениями [6, 7]:

$$U_{\text{отр}} = akE = K\varepsilon p_{\max}, \quad (1)$$

$$p_{\max} \approx \frac{V_{\text{зв}}^2}{2\pi C_p T r_0^{3/2} r^{1/2}} k E, \quad (2)$$

где a и ε – чувствительность ОА-детектора и чувствительность микрофона соответственно; K – коэффициент связи между амплитудами $U_{\text{отр}}$ и $U_{\text{пр}}$; T – температура газа; C_p – удельная теплоемкость газа при постоянном давлении; $V_{\text{зв}}$ – скорость звука в газе; r_0 – радиус лазерного пучка в точке измерения; r – расстояние от центра лазерного пучка до микрофона.

Выражение (2) справедливо для случая «большого» размера гауссова пучка, когда форма сигнала давления не зависит от времени тепловыделения [7]. В формуле (1) для немонохроматического излучения величина k определяется из уравнения [6]:

$$k = k(v_{\text{л}}) = \sum_i \int_{\Delta v} k_i(v) g(v_{\text{л}} - v) dv, \quad (3)$$